

Tworzenie i optymalizacja filtrów IIR

Raport 2 (12.11.2016)

Uniwersytet Jagielloński – Zakład Fotoniki

1 Wstęp

1.1 Metoda tworzenia filtrów IIR

Najpopularniejszą metodą tworzenia filtrów cyfrowych ze sprzężeniem zwrotnym (Infinite Impulse Response – IIR) jest metoda polegająca na stworzeniu wpierw ich analogowych prototypów, a następnie przejściu (za pomocą transformaty biliniowej) do ich cyfrowych odpowiedników.

Wśród powszechnie znanych typów filtrów analogowych znajdują się:

- filtry Butterworth’a
- filtry Czebyszewa I/II
- filtry Eliptyczne

1.2 Badanie stabilności filtrów - porównanie filtrów analogowych i cyfrowych

Układ analogowy jest stabilny, jeżeli bieguny jego transmitancji leżą w lewej półpłaszczyźnie płaszczyzny zespolonej.

Układ dyskretny jest stabilny, jeżeli bieguny jego transmitancji leżą wewnątrz okręgu jednostkowego na płaszczyźnie zespolonej.

Dla układu analogowego osią częstotliwości jest oś urojona $s = j\omega$.

Dla układu dyskretnego częstotliwość zmienia się po okręgu jednostkowym $z = e^{j\Omega}$.

W przypadku biegunów na osi (dla analogowych) lub na okręgu (dla dyskretnych) stabilność jest warunkowa, a układ odpowiada oscylacją.

Część I

1 Projektowanie filtrów analogowych Butterwortha i Czebyszewa

Podczas projektowania korzystamy z oznaczeń przedstawionych na rysunku poniżej

- Częstotliwość końca pasma przepustowego (f_P) w dB
- Największe dopuszczalne tłumienie w paśmie przepustowym (A_P) dla filtra Czebyszewa ten parametr określa jednocześnie dopuszczalne zafalowanie charakterystyki amplitudowej w paśmie przepustowym (w kHz)
- Częstotliwość początku pasma zaporowego (f_R) w dB
- Wymagane minimalne tłumienie w paśmie zaporowym (A_R) (w kHz)

1.1 Obliczenie rzędu filtra

1.1.1 Współczynnik selektywności k

$$k = \frac{f_P}{f_R}$$

1.1.2 Współczynnik dyskryminacji d

$$d = \sqrt{\frac{10^{0.1 A_P} - 1}{10^{0.1 A_R} - 1}}$$

Rząd filtra Butterwortha oblicza się ze współczynników k i d

$$n = \frac{|\log d|}{|\log k|} \quad (1.1)$$

3.95298

Rząd filtra Czebyszewa określa się z podobnego wzoru:

$$n = \frac{\operatorname{arc cosh}\left(\frac{1}{d}\right)}{\operatorname{arc cosh}\left(\frac{1}{k}\right)} \quad (1.2)$$

2.71107 + 0. i

Rząd filtru nie może być ułamkowy, więc zaokrąglamy w górę.

4

3

Rząd filtr Czebyszewa będzie zawsze mniejszy lub równy rzędowi filtru Butterwortha.

1.2 Częstotliwość graniczna

W dolnoprzepustowym filtrze Czebyszewa jest to częstotliwość, dla której tłumienie filtru nie przekracza założonych zafalowań charakterystyki. A więc poprostu f_P

$$f_g = f_P \quad (1.3)$$

Dla filtru Butterwortha, częstotliwość graniczna to taka dla której następuje spadek wzmocnienia o 3 dB względem sygnału stałego (o częstotliwości 0). Jest ona większa od f_P jeżeli A_P jest mniejsze niż 3 dB.

Można ją określić ze wzoru

$$f_g = \frac{f_P}{\left(10^{0.1 A_P} - 1\right)^{\frac{1}{2n}}} \quad (1.4)$$

3.90228

1.3 Filtr prototypowy

Definicja
n 1.1

Filtr prototypowy \equiv filtr analogowy którego częstotliwość graniczna wynosi 1 Hz.

1.3.1 Butterworth

Kwadrat charakterystyki amplitudowej definiuje się następująco

$$|H(j\omega)|^2 = \frac{1}{1 + (j\omega / j\omega_{3\text{ dB}})^{2N}} \quad (1.5)$$

$$|H(j\omega)| = \sqrt{\frac{1}{1 + (j\omega / j\omega_{3\text{ dB}})^{2N}}} \quad (1.6)$$

gdzie $\omega_{3\text{ dB}}$ jest pulsacją, dla której charakterystyka amplitudowa opada do poziomu $\frac{1}{\sqrt{2}}$ (3 dB w skali

decybelowej $20 \log_{10}\left(1 / \sqrt{2}\right) = -3 \text{ dB}$. Rozważając zera mianownika:

$$1 + (s / j\omega_{3\text{ dB}})^{2N} = 0$$

Otrzymujemy bieguny transmitancji filtra Butterwortha:

$$\left\{\left\{s \rightarrow \text{ConditionalExpression}\left[\frac{\mathrm{i} \, \mathrm{e}^{\frac{\left(\pi+2 \, \pi \, \text{C}\left[1\right)\right)}{2 \, \text{NN}} \omega},\left(\text{C}\left[1\right] \in \text{Integers} \&\& -1+2 \, \text{NN}-2 \, \text{C}\left[1\right] \geq 0 \&\& \text{C}\left[1\right] \geq 0\right) \mid \mid\right.\right.\right. \\ \left.\left.\left.\left(\text{C}\left[1\right] \in \text{Integers} \&\& \text{C}\left[1\right] \leq -1 \&\& 1+2 \, \text{NN}+2 \, \text{C}\left[1\right] > 0\right)\right]\right\}\right\}$$

$$\frac{\mathrm{i} \, \mathrm{e}^{\frac{\left(\pi+2 \, \pi \, \text{C}\left[1\right)\right)}{2 \, \text{NN}} \omega}}{\omega}$$

$$\omega_{3\text{dB}} \, \mathrm{e}^{j\left(\pi/(2 \, N)\right)\left(2 \, k+N-1\right)}$$

(1.7)

Do filtra wybieramy tylko te znajdujące się w lewej półpłaszczyźnie

$$\frac{1}{\left(\left(0.707107-0.707107 \, \mathrm{i}\right)+s\right)\left(\left(0.707107+0.707107 \, \mathrm{i}\right)+s\right)}$$

Z równania (1.6) otrzymujemy:

$$20 \log _{10}\left(1 \bigg/ \sqrt{1+\left(\omega_p / \omega_{3 \text { dB }}\right)^{2 N}}\right)=-A_P$$

(1.8)

$$20 \log _{10}\left(1 \bigg/ \sqrt{1+\left(\omega_s / \omega_{3 \text { dB }}\right)^{2 N}}\right)=-A_R$$

(1.9)

Skąd rząd filtru:

$$N=\frac{1}{2} \log _{10}\left(\frac{10^{A_P / 10}-1}{10^{A_R / 10}-1}\right) \bigg/ \log _{10}\left(\frac{\omega_p}{\omega_s}\right)$$

(1.10)

$$\omega_{3 \text { dB }}=\frac{\omega_{\text {pass}}}{\left(10^{A_P / 10}-1\right)^{1/(2 \, N)}}$$

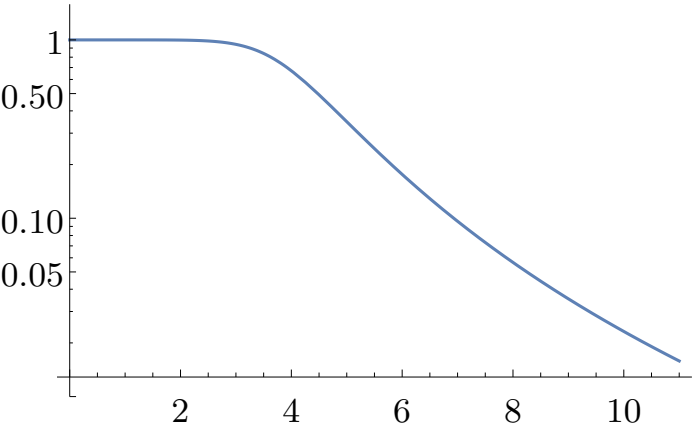
(1.11)

1.4 Całość dla filtru Butterworth

$$4$$

$$3.90228$$

$$231.885 / \left(\left(\left(1.49334-3.60523 \, \mathrm{i}\right)+\mathrm{i} \, \omega\right)\left(\left(1.49334+3.60523 \, \mathrm{i}\right)+\mathrm{i} \, \omega\right)\left(\left(3.60523-1.49334 \, \mathrm{i}\right)+\mathrm{i} \, \omega\right)\left(\left(3.60523+1.49334 \, \mathrm{i}\right)+\mathrm{i} \, \omega\right)\right)$$



1.5 Filtr Czebyszewa

$$|H(j\omega)|^2 = \frac{1}{1 + \epsilon^2 V_N^2(i\omega / i\omega_{3dB})} \quad (1.12)$$

Gdzie

$$V_N(x) = \begin{cases} \cos(N \arccos(x)) & |x| \leq 1 \\ \cosh(N \operatorname{arccosh}(x)) & |x| > 1 \end{cases} \quad (1.13)$$

Jest to filtr I typu. Charakterystyka jest równomiernie falista w paśmie przepustowym.

Amplituda zafalowania jest regulowana parametrem ϵ .

W paśmie zaporowym charakterystyka opada monotonicznie

Dla filtru typu II jest odwrotnie. Charakterystyka jest płaska w paśmie przepustowym i równomiernie falista w paśmie zaporowym.

Parametr ϵ reguluje amplitudę zafalowania charakterystyki amplitudowej w paśmie zaporowym.

$$|H(j\omega)|^2 = \frac{1}{1 + \frac{1}{\epsilon^2 V_N^2(i\omega_{3dB}/i\omega)}} \quad (1.14)$$

1.6 Filtr eliptyczny

Do aproksymacji idealnej, prostokątnej charakterystyki częstotliwościowej w przypadku filtra eliptycznego stosuje się eliptyczną funkcję Jacobiego.

Charakterystyka amplitudowa filtra eliptycznego jest równomiernie falista w paśmie przepustowym i zaporowym. Filtr eliptyczny opisują 4 parametry: N – rząd filtra, ω - krawędź pasma przepustowego, A_P oraz A_R .

1.7 Transformacja częstotliwości

Po zaprojektowaniu analogowego filtra dolnoprzepustowego możemy utworzyć inne filtry korzystając z następującej tabeli:

$$\begin{array}{ll} \text{Low pass} & s' = s / \omega_0 \\ \text{High pass} & s' = \omega_0 / s \\ \text{Band pass} & s' = \frac{\omega_0}{\Delta\omega} \frac{(s/\omega_0)^2 + 1}{s/\omega_0} \\ \text{Band stop} & s' = \frac{\Delta\omega}{\omega_0} \frac{s/\omega_0}{(s/\omega_0)^2 + 1} \end{array}$$

where $\Delta\omega = \omega_2 - \omega_1$ and $\omega_0 = \sqrt{\omega_1 \omega_2}$

2 Przykładowy projekt filtra dolnoprzepustowego

Zakładamy wartości parametrów filtra:

- częstotliwość próbkowania $f_{\text{pr}} = 100 \text{ Hz}$
- krawędź pasma przepustowego $f_1 = 20 \text{ Hz}$
- krawędź pasma zaporowego $f_2 = 25 \text{ Hz}$
- nieliniowość charakterystyki w paśmie przepustowym $A_p = 3 \text{ dB}$
- nieliniowość charakterystyki w paśmie zaporowym $A_s = 30 \text{ dB}$

Przeliczenie częstotliwości filtra cyfrowego f_1 i f_2 na pulsację Ω w radianach:

$$\Omega_1 = 2\pi \frac{f_1}{f_{\text{pr}}} = 2\pi \frac{20}{100} = 1.2566 \text{ rad}$$

$$\Omega_2 = 2\pi \frac{f_2}{f_{\text{pr}}} = 2\pi \frac{25}{100} = 1.5708 \text{ rad}$$

1.25664

1.5708

2.1 Krawędź pasma filtra analogowego

$$\omega_1 = \frac{2}{2\Delta t} \tan(\Omega_1/2) = \frac{2}{1/100} \tan(1.2566/2) = 145.3085 \text{ rad/s}$$

$$\omega_2 = 200 \text{ rad/s}$$

145.309

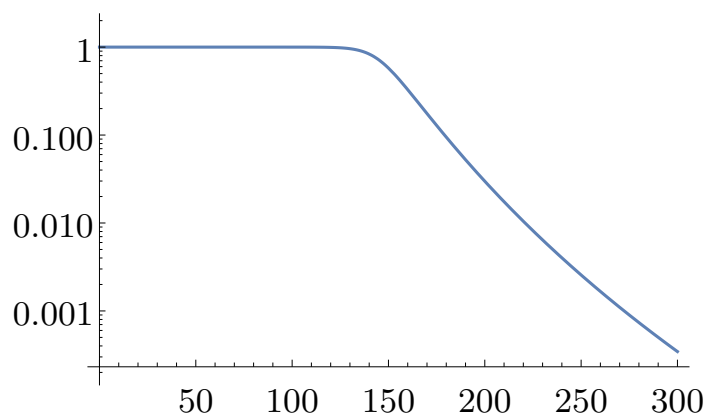
200.

2.2 Określenie parametrów filtra analogowego na podstawie podanych wymagań

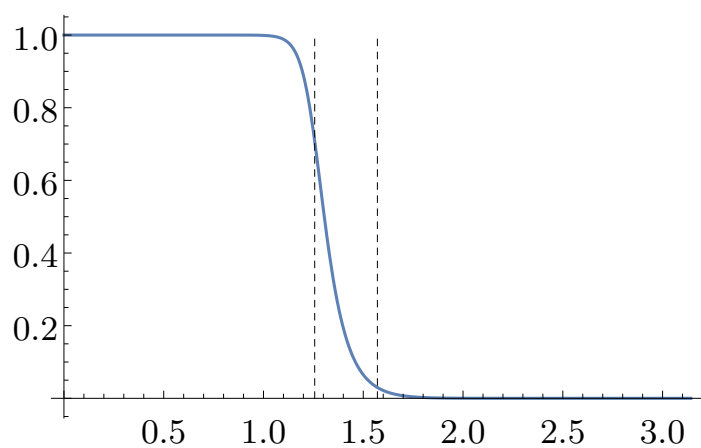
11

145.34

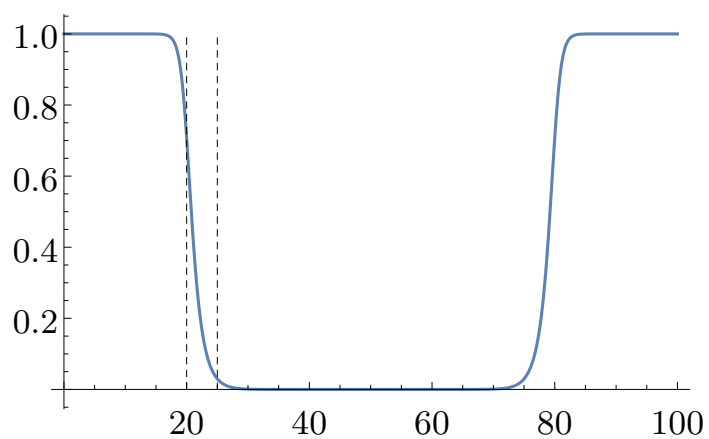
2.3 Filtr analogowy



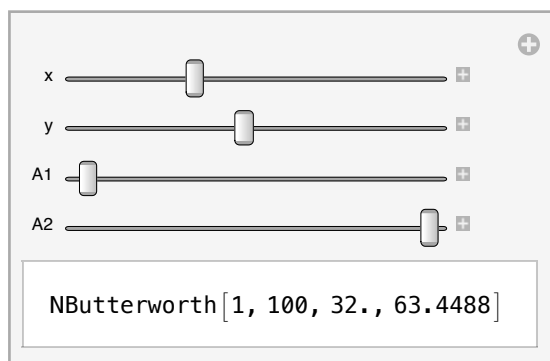
2.4 Przejście na filtr cyfrowy (w dziedzinie pulsacji/częstości)



2.5 Filtr cyfrowy w dziedzinie częstotliwości



3 Badanie reakcji filtru Butterworth na zmianę częstotliwości odcięcia



Obserwacja: im częstotliwości bliższe sobie, a za tem im bardziej stromy filtr tym wyższy rząd filtru Butterworth'a jest wymagany.

Oprócz tego dla:

$(2.2, 2.3) \rightarrow N = 78$

$(22.2, 22.3) \rightarrow N = 769$

$(82.2, 82.3) \rightarrow N = 2843$

a więc rząd filtru rośnie także z częstotliwością przy stałej różnicy $f_2 - f_1$.

Cześć II

1 Badanie błędów dyskretyzacji filtrów cyfrowych

1.1 Definicje

1.1.1 Funkcje dyskretyzujące

1.1.2 Funkcja błędu

Szybsza wersja:

1.2 Ustalenie postaci filtrów cyfrowych

Poniżej znajdują się definicje filtrów analogowych i ich cyfrowych odpowiedników w postaci tabel dla rzędu $N=\{1,2,\dots,7\}$ oraz częstości $\omega=\{\omega_{\min}, \omega_{\max}, \Delta\omega\}$

1.2.1 Butterworth

1.2.2 Chebyshev 1

1.2.3 Chebyshev 2

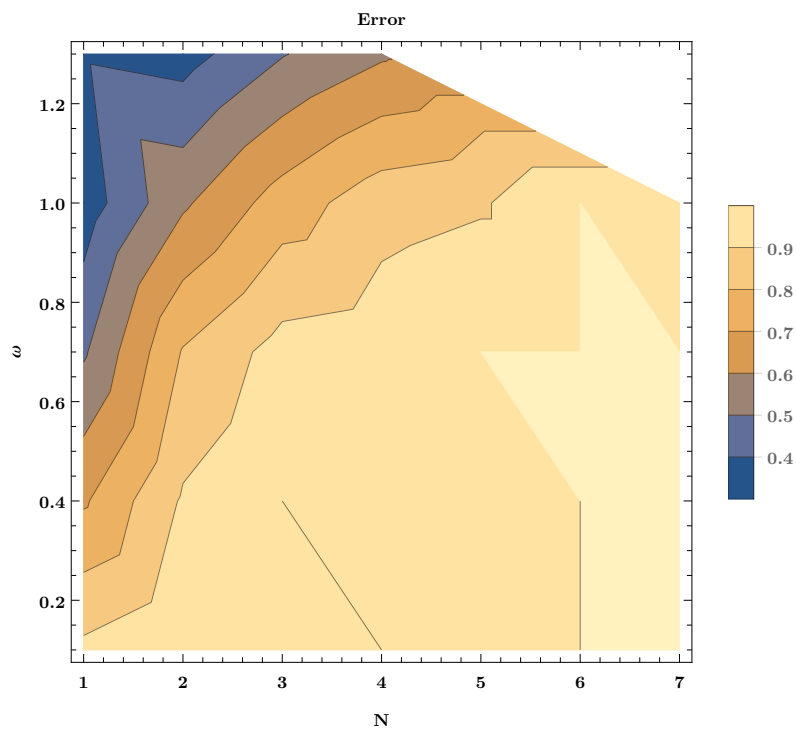
1.2.4 Eliptic

1.3 Dyskretyzacja

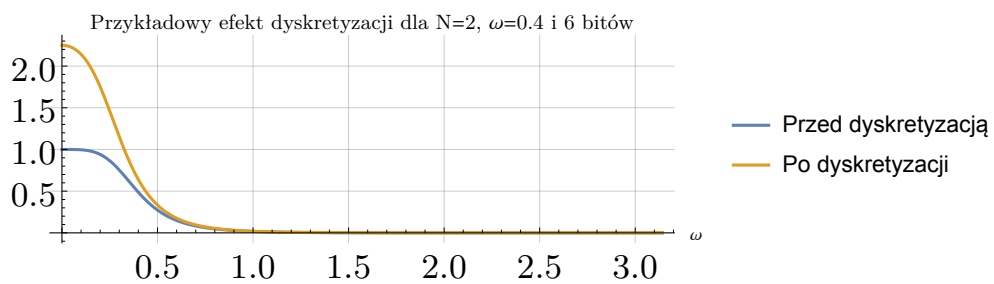
1.4 Wyniki

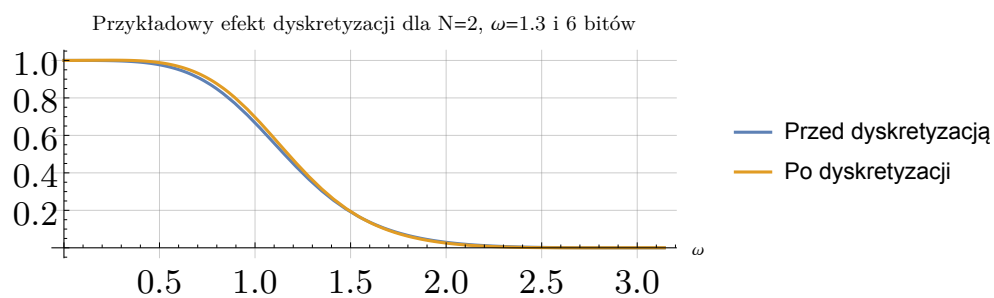
1.4.1 Butterworth

Funkcje błędu w zależności od rzędu filtra i częstotliwości granicznej:



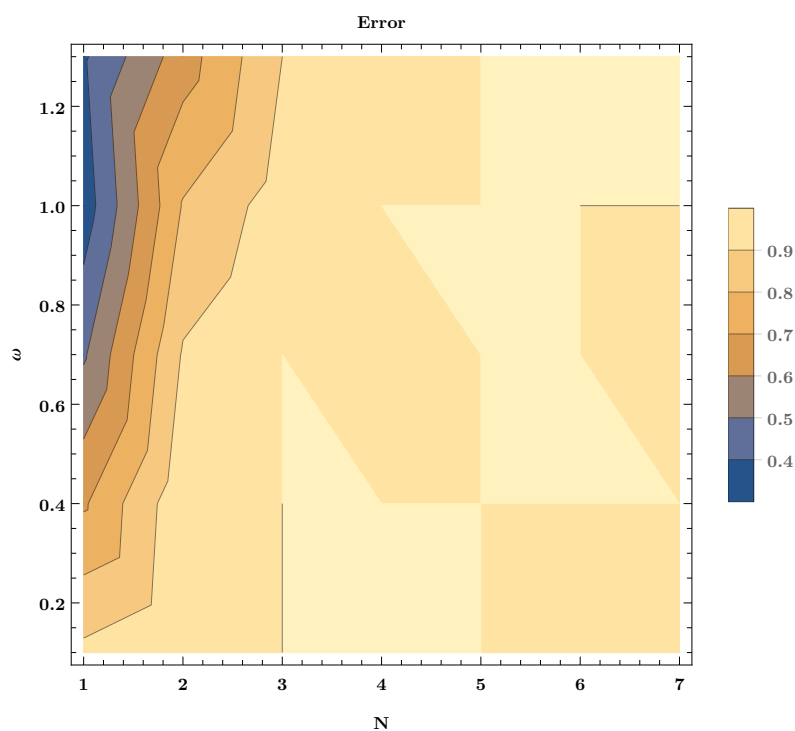
Poniżej dwa przykłady:



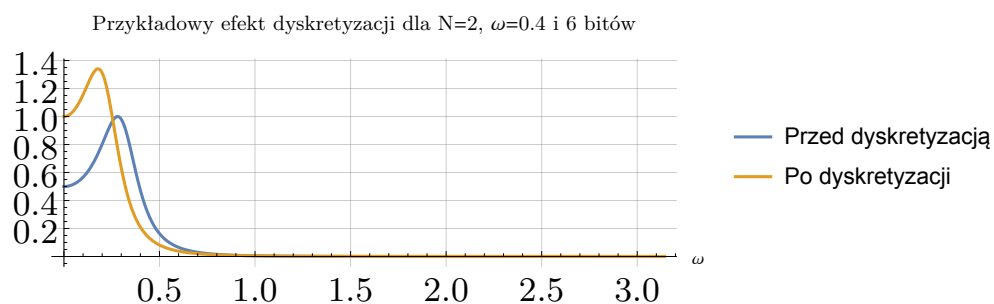


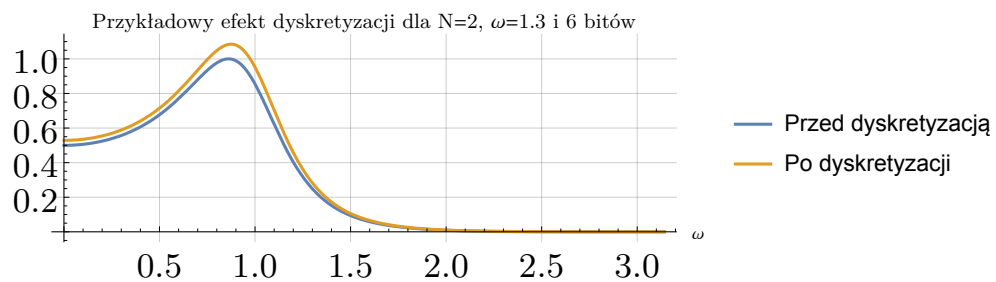
1.4.2 Chebyshev 1

Funkcje błędów w zależności od rzędu filtra i częstotliwości granicznej:



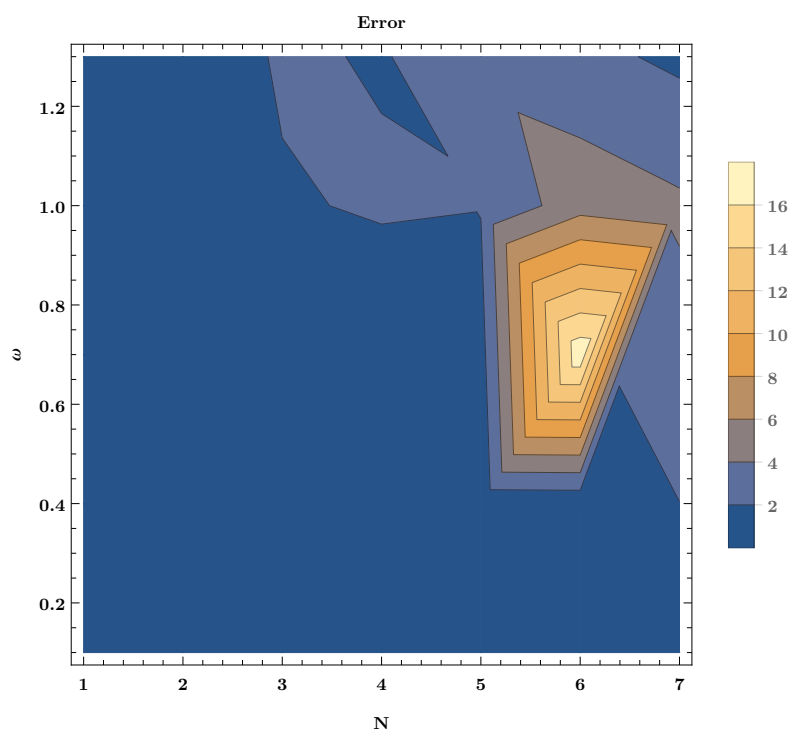
Poniżej dwa przykłady:



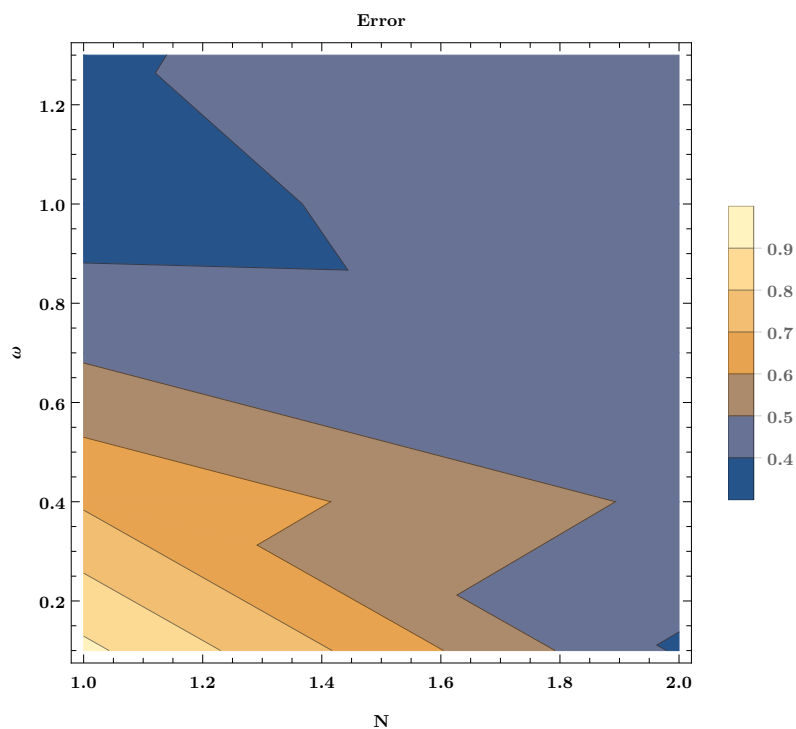


1.4.3 Chebyshev 2

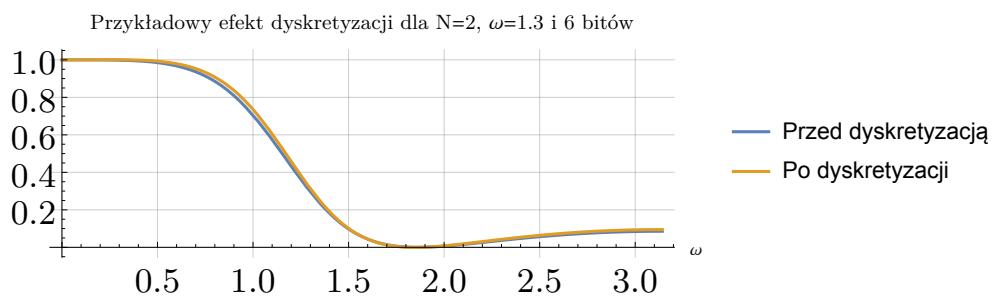
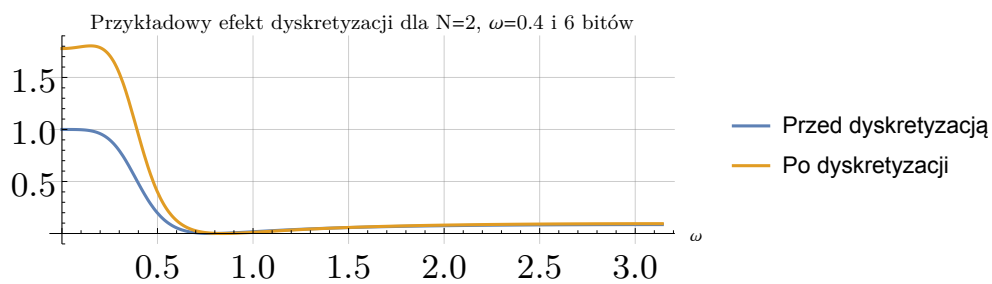
Funkcje błędu w zależności od rzędu filtra i częstotliwości granicznej:



Powiększam fragment w okolicy małych częstotliwości gdzie błędy są mniejsze od 1.

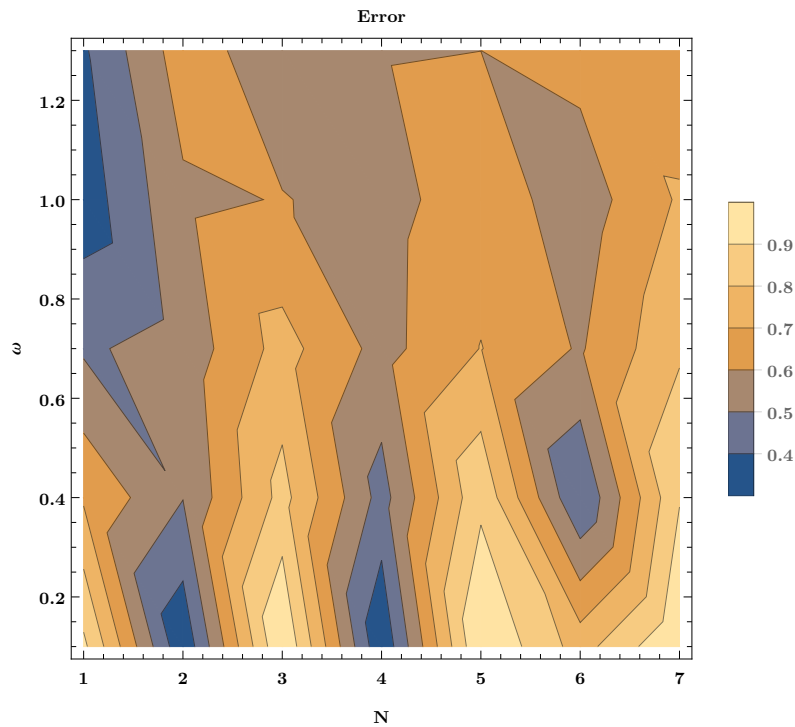


Poniżej dwa przykłady:

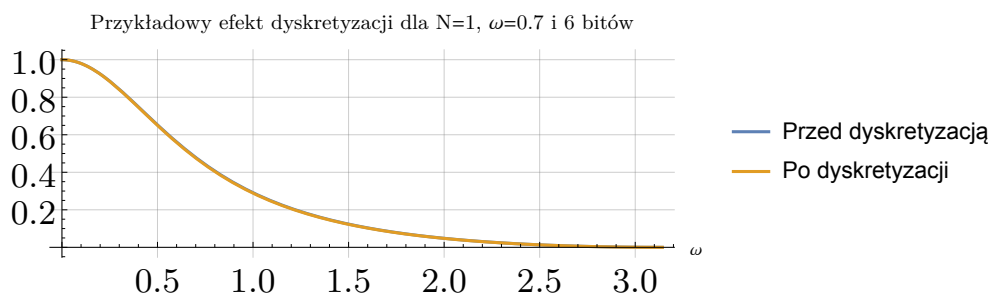


1.4.4 Eliptic

Funkcje błędów w zależności od rzędu filtra i częstości granicznej:



Poniżej dwa przykłady:



2 Badanie stabilności dyskretyzowanych filtrów cyfrowych

2.1 Ustalenie postaci filtrów cyfrowych

Poniżej znajdują się definicje filtrów analogowych i ich cyfrowych odpowiedników w postaci tabel dla rzędu $N=\{1,2,\dots,7\}$ oraz częstości $\omega=\{\omega_{\min}, \omega_{\max}, \Delta\omega\}$

2.1.1 Definicje

2.1.2 Butterworth

2.1.3 Chebyshev 1

2.1.4 Chebyshev 2

2.1.5 Eliptic

2.2 Funkcje pomocnicze

Pomocnicza funkcja by pobrać bieguny zdyskretyzowanych filtrów

Ustalamy ilość bitów do symulacji

Przygotowujemy funkcję rysującą bieguny i zaznaczającą na czerwono te w których bieguny filtru zdyskretyzowanego wychodzą poza okrąg jednostkowy.

2.3 Dyskretyzacja współczynników filtru cyfrowego

2.3.1 Definicje

2.3.2 Testy

$\{\{0, 3, 3\}, \{0, 3\,i, 3\,i\}\}$

Dyskretyzujemy na poziomie filtrów cyfrowych

$$\left(\frac{0.0302379 + 0.0604758\,z + 0.0302379\,z^2}{(0.572371 + 0.\,i) - (1.45142 + 0.\,i)\,z + z^2} \right) \mathcal{T}_1$$

$\{0.72571 - 0.213814\,i, 0.72571 + 0.213814\,i\}$

$$\frac{0.04682 + 0.04682\,z + 0.04682\,z^2}{0.56184 - 1.45142\,z + 0.98322\,z^2}$$

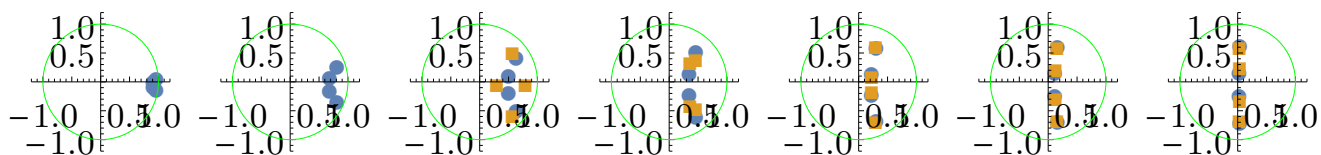
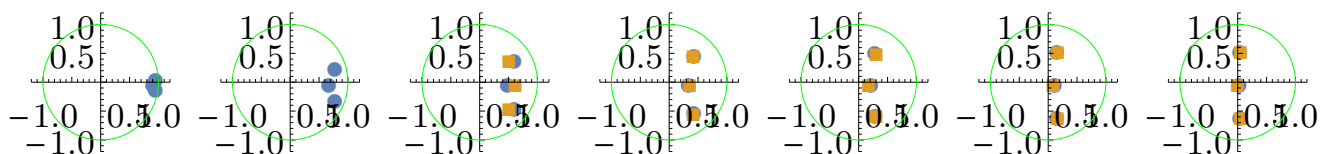
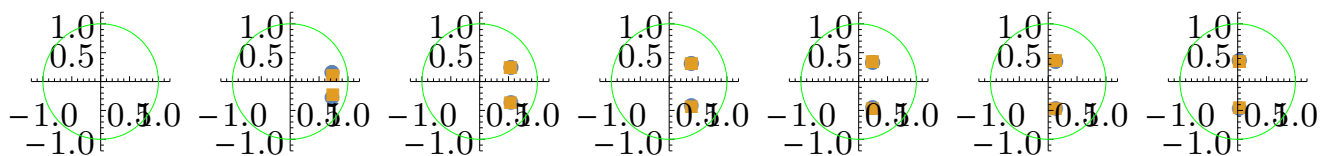
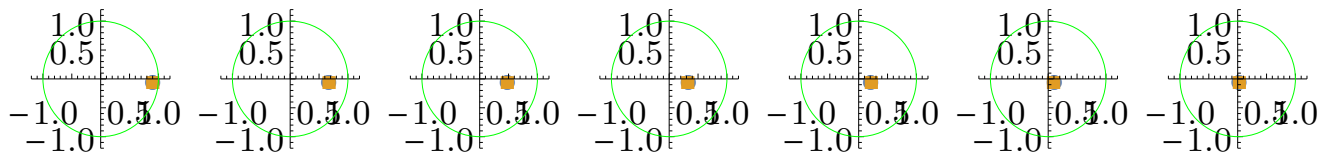
$\{0.738095 - 0.16323\,i, 0.738095 + 0.16323\,i\}$

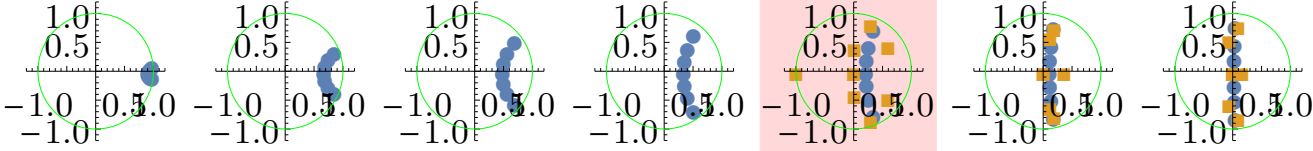
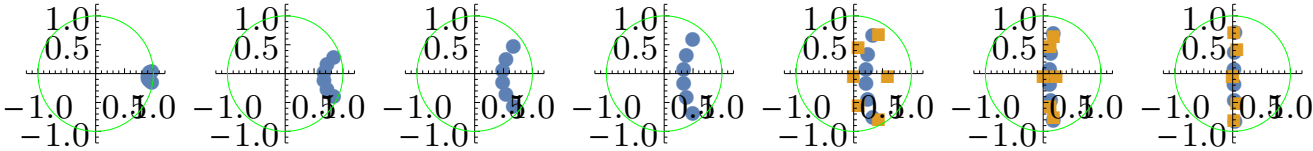
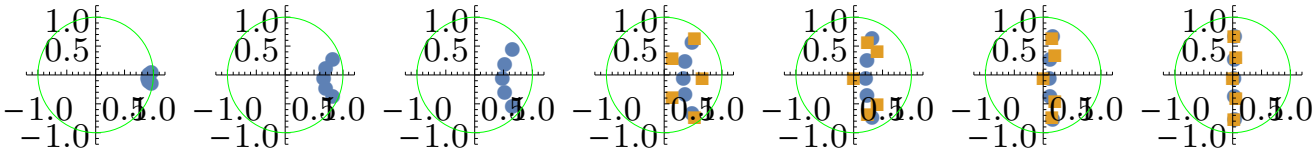
2.3.3 Dyskretyzacja

2.3.4 Porównanie położenia biegunów

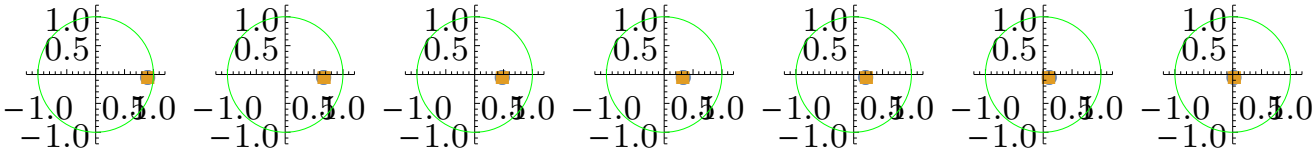
★ Butterworth

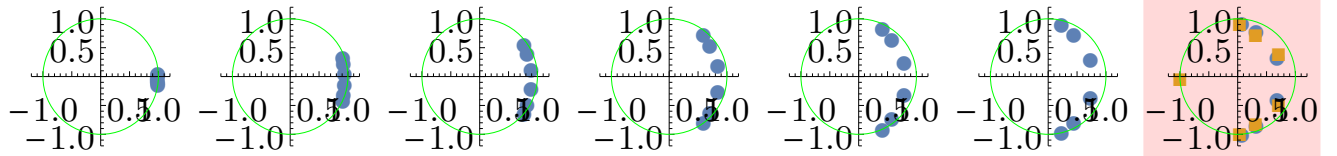
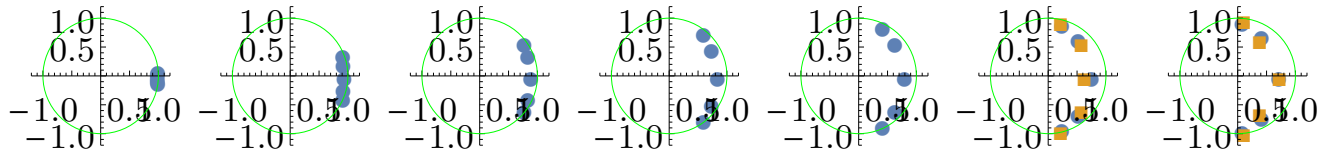
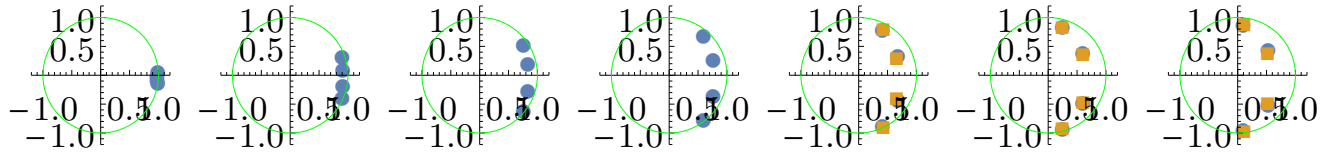
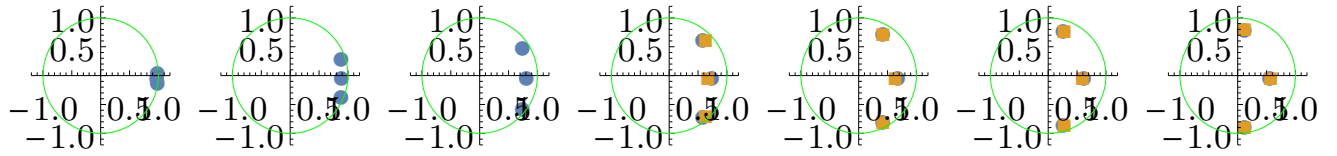
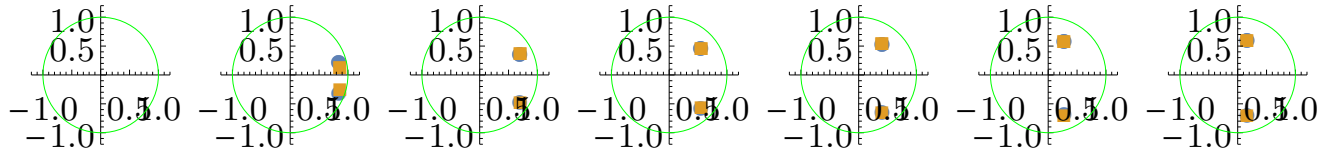
W prawo rośnie częstotliwość, w dół rośnie rząd filtra.

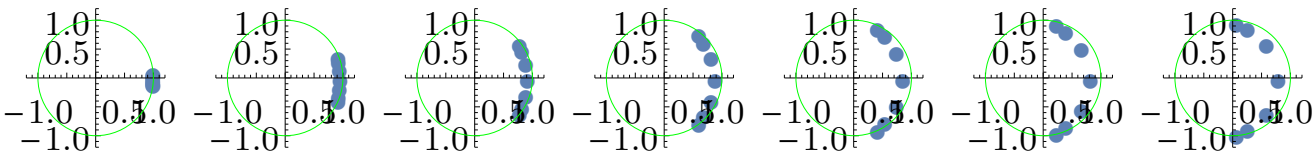




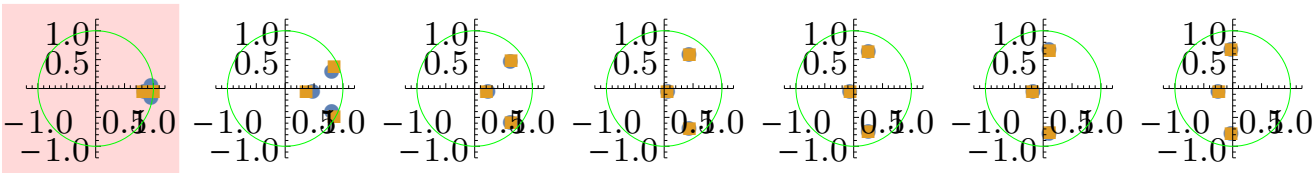
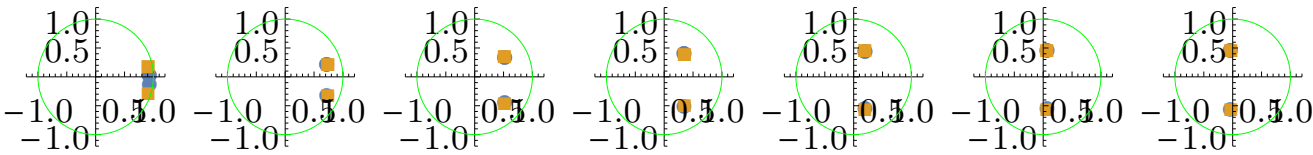
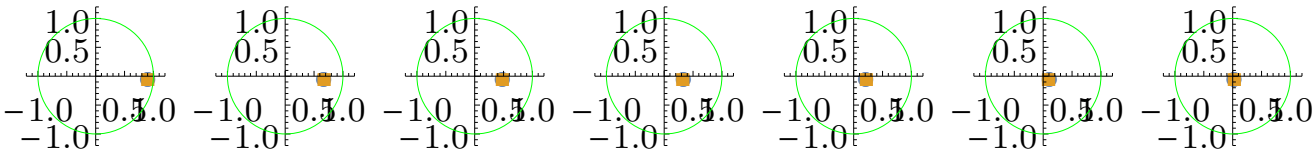
★ Chebyshev 1

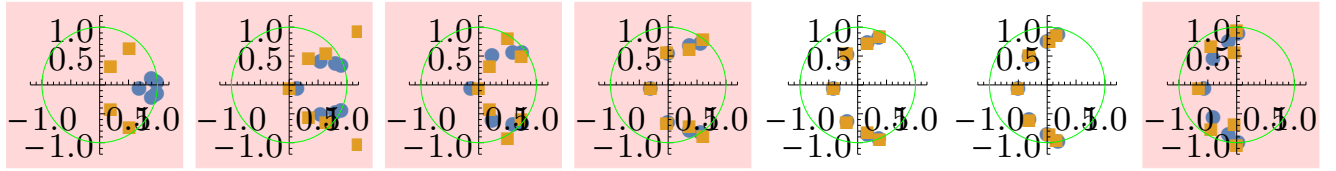
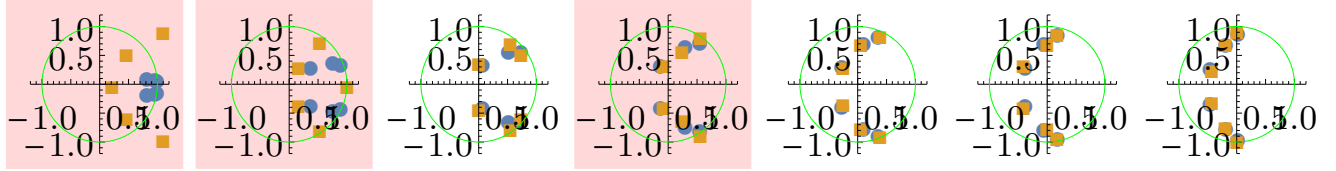
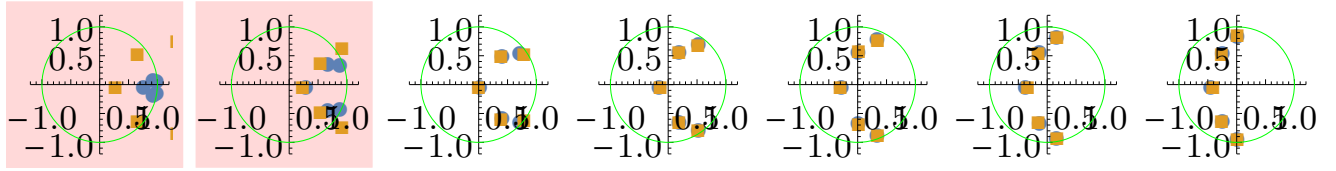
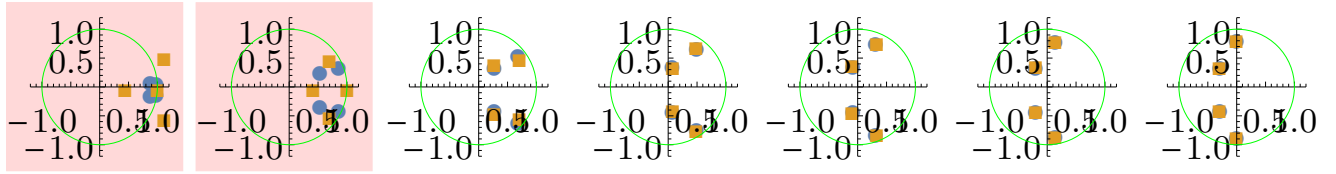


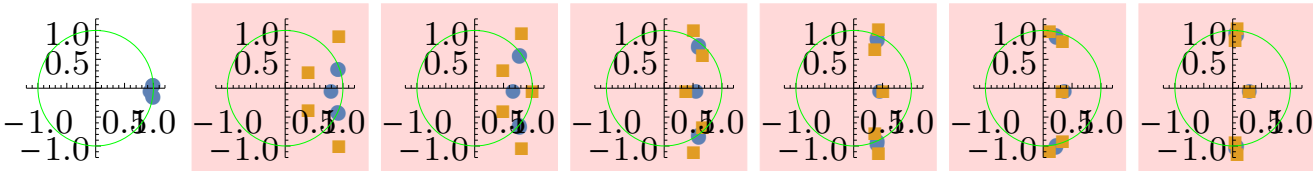
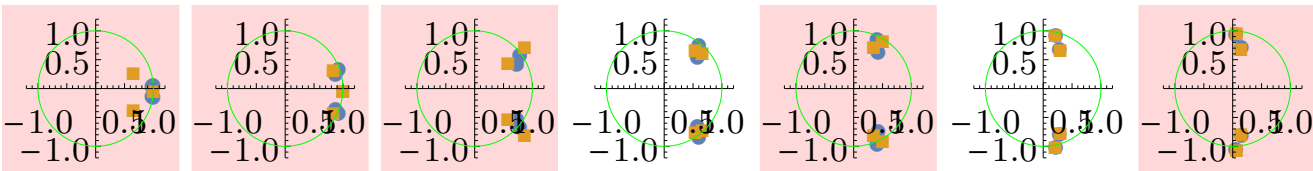
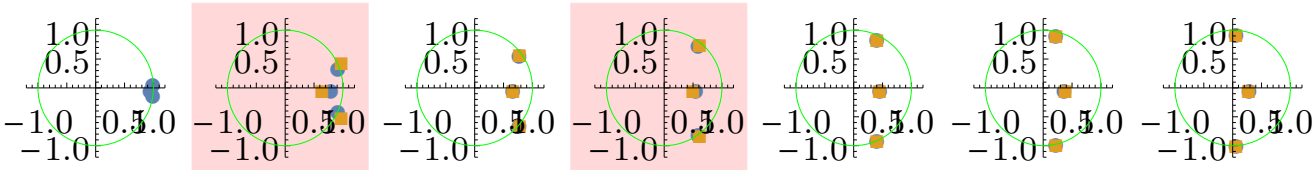
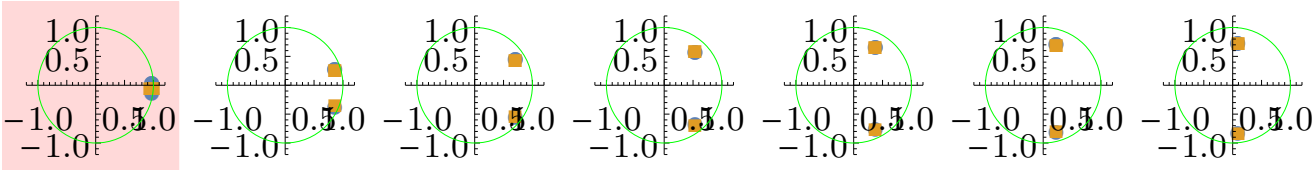
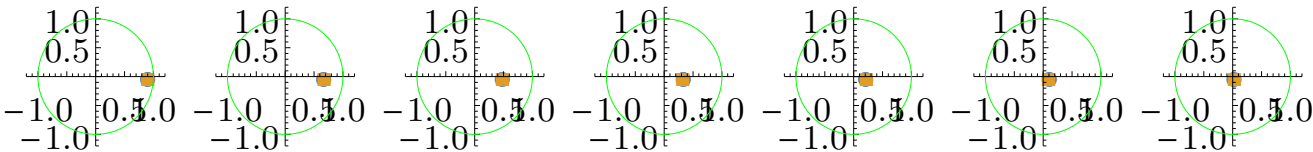


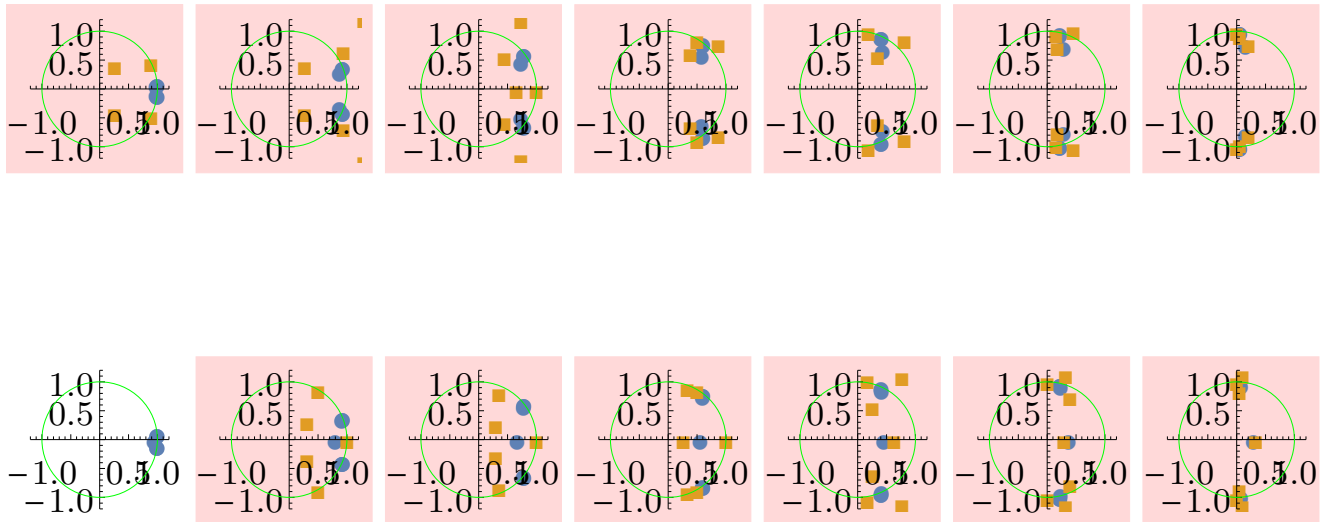


★ Chebyshev 2









2.4 Dyskusja

Istnieje problem polegający na znikaniu licznika (a więc również całego filtru) widoczny jest on przy niskich częstotliwościach filtru Butterwortha i Chebysheva 1

Ponadto widać, iż filtry eliptyczne powyżej 3 rzędu robią się bardzo niestabilne (niektóre nie są zaznaczone na czerwono bo filtr przestał działać z powodów wspomnianych wyżej)

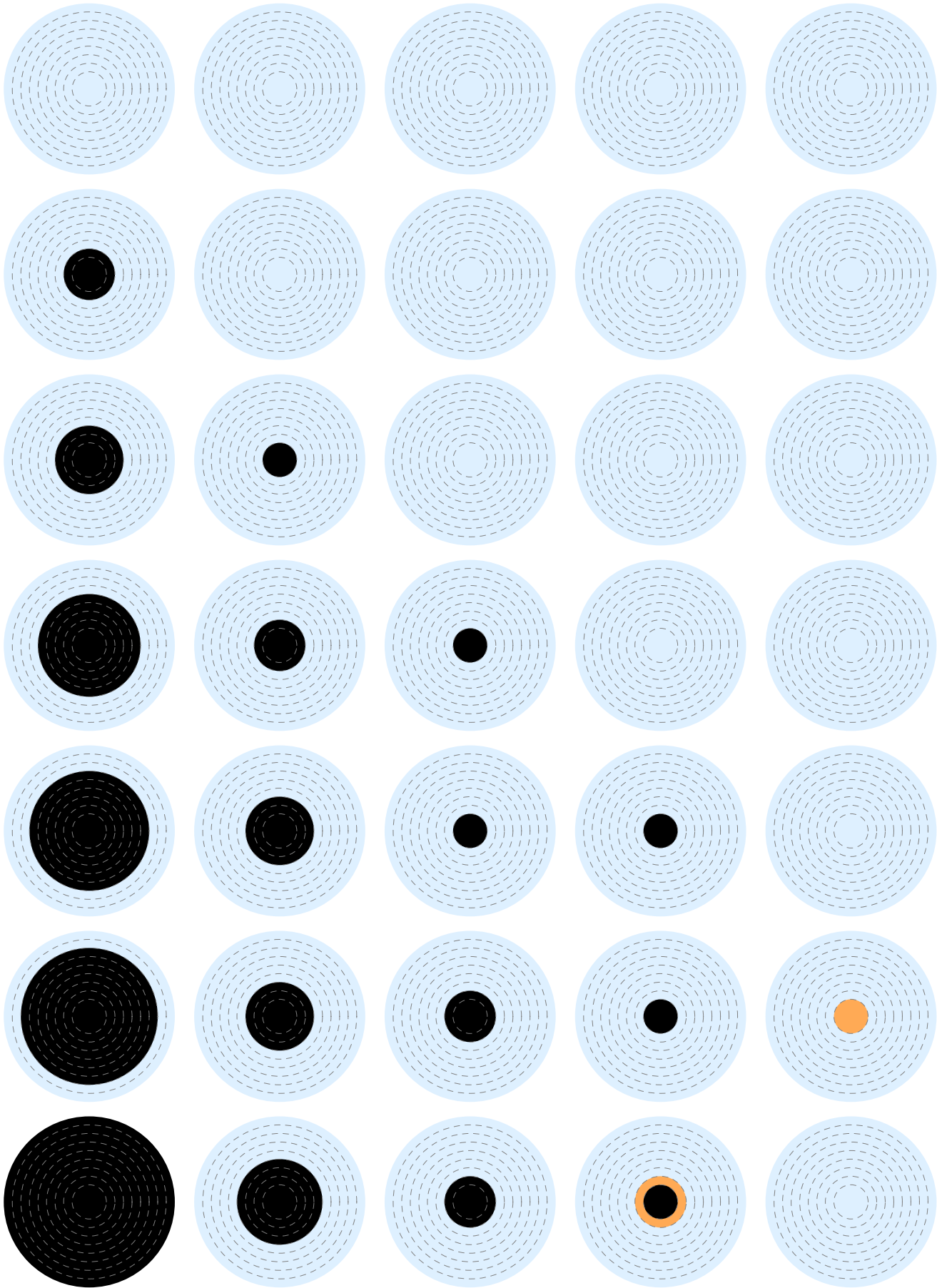
3 Główne wyniki dotyczące stabilności

W tej części zostaną przedstawione najważniejsze wyniki dla dyskretyzacji w której współczynniki licznika i mianownika są dyskretyzowane razem.

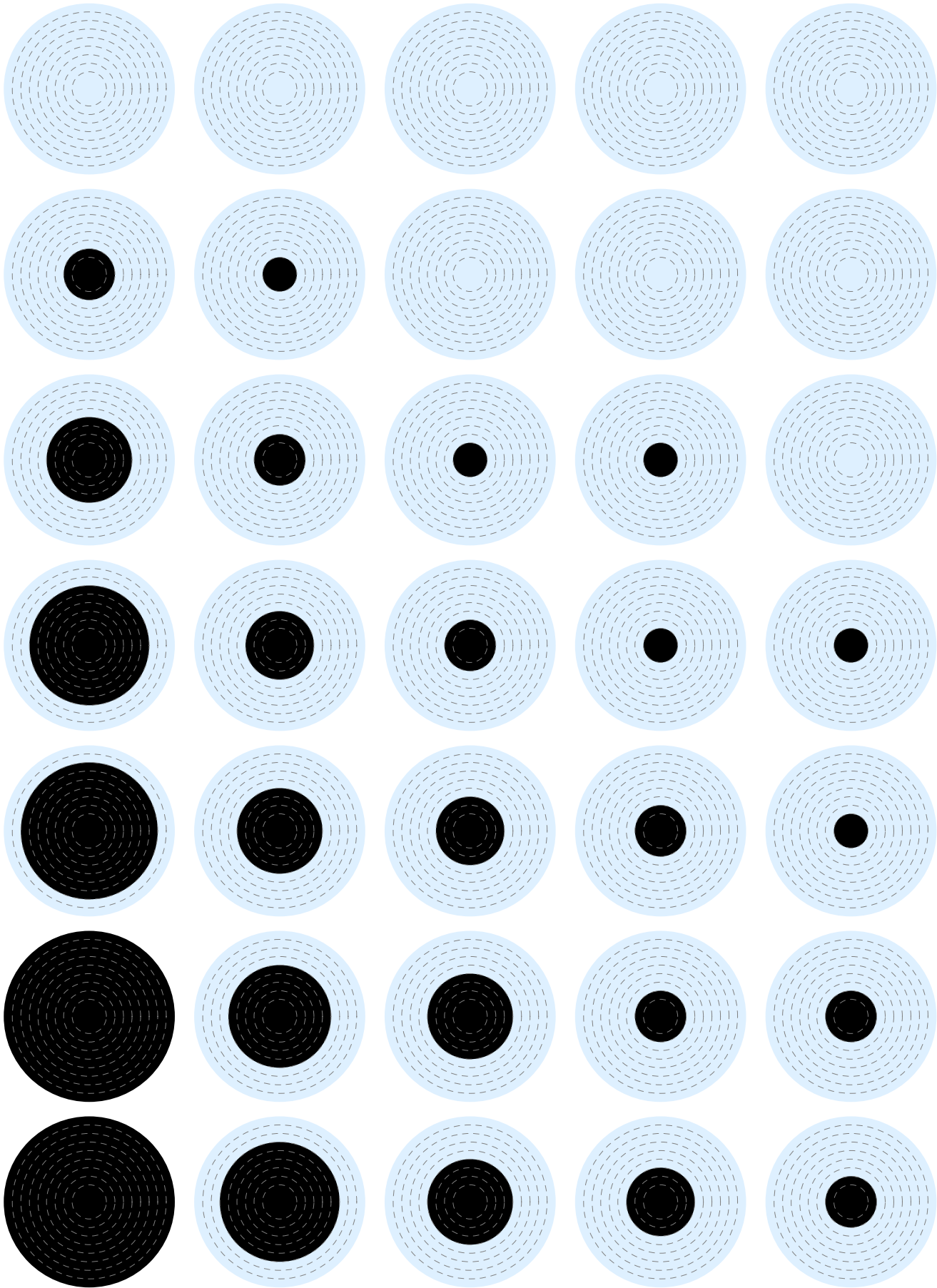
Wizualizacja stabilności filtrów rządzi się zasada jest ta sama - w dół rośnie rząd, w prawo rośnie częstość graniczna.

Promień pierścienia jest związany z liczbą bitów. Środkowy okrąg jest 5 bitowy, każdy kolejny 3 bity więcej, okręgów jest 9, zatem ostatni okrąg reprezentuje $5 + 9 * 3 = 5 + 27 = 32$ bity. Kolor niebieski oznacza filtr stabilny, kolor pomarańczowy - niestabilny.

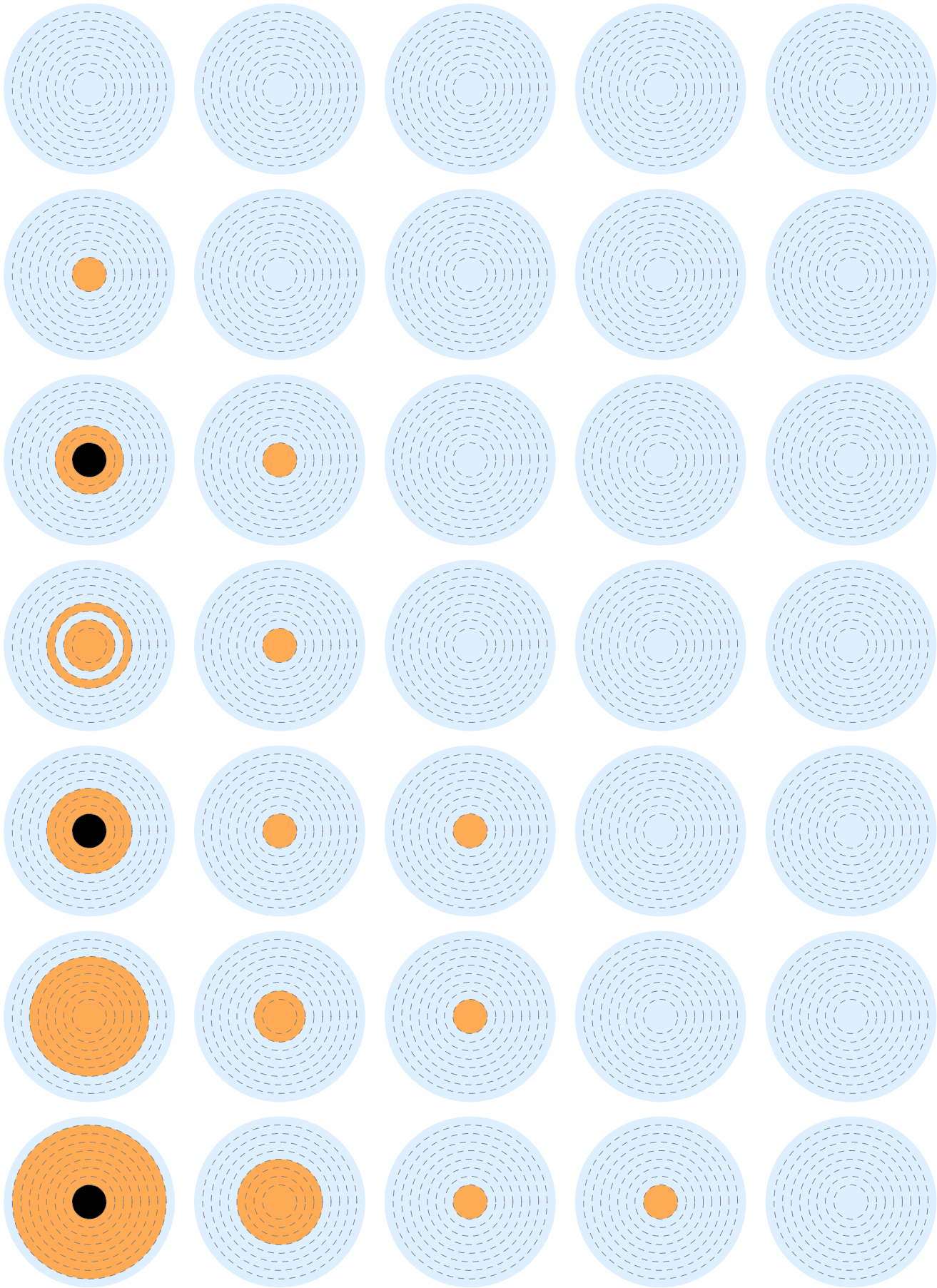
3.1 Butterworth



3.2 Chebyshev 1



3.3 Chebyshev 2



3.4 Eliptyczny

